

## Complemento a los teóricos 24-25

Análisis II - Análisis Matemático II - Matemático 3

⊗ Comportamiento asintótico de sol.

⊗ Ejemplo del péndulo simple amortiguado.

\_\_\_\_\_ x \_\_\_\_\_ x \_\_\_\_\_ x \_\_\_\_\_

### Diagrama de fases

•  $A \in \mathbb{R}^{2 \times 2}$  y el sistema lineal a coef. constantes

$$X' = AX, \quad X(t) = \begin{pmatrix} x_1(t) \\ x_2(t) \end{pmatrix}$$

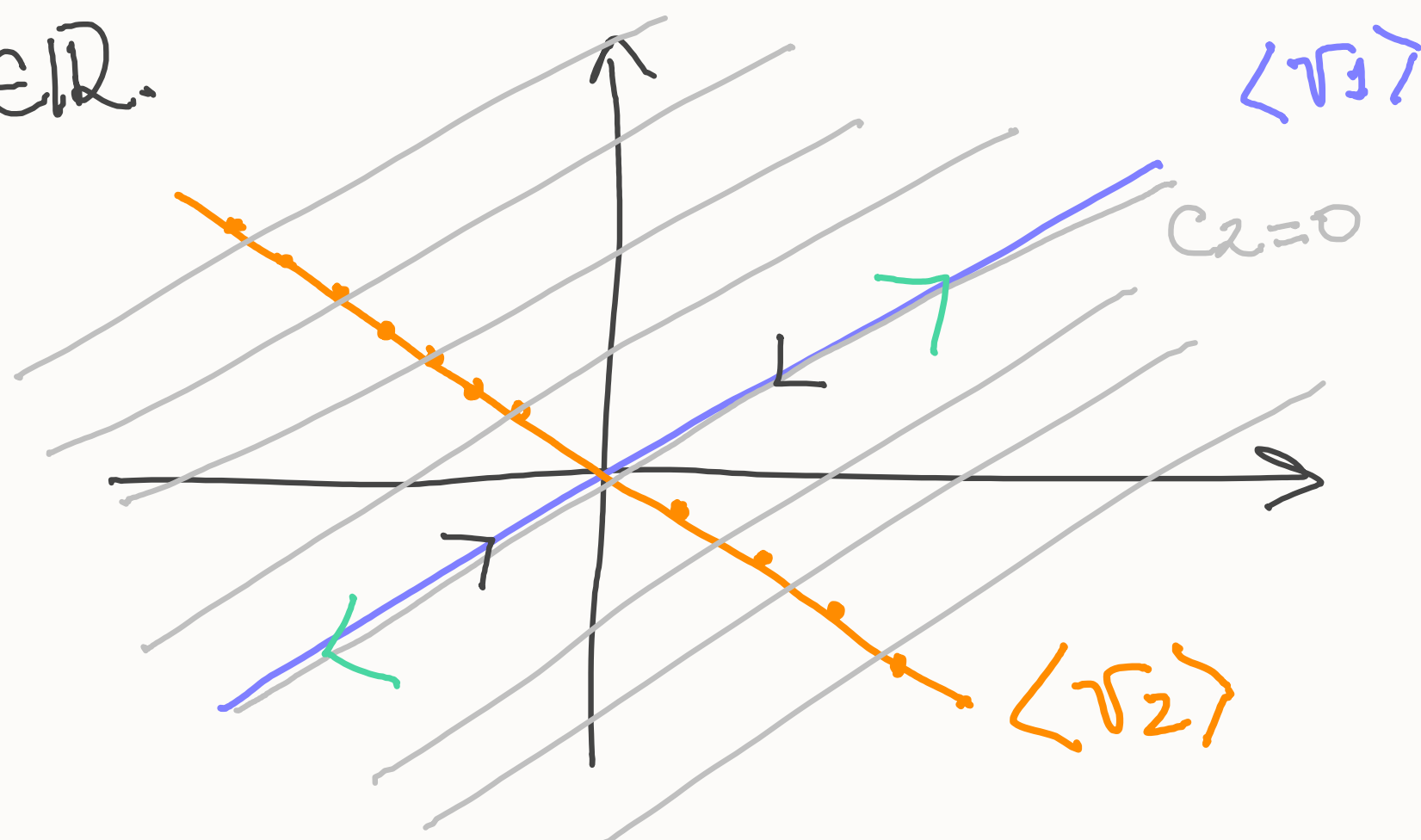
• Si  $\lambda = 0$  es autovalor de  $A$ :

$X(t) = C_1 v_1 e^{\lambda_1 t} + C_2 v_2$  con  $\lambda_1 \neq 0$  el otro autovalor,  $v_2$  su autovector asociado y  $v_1$  autovector de  $\lambda = 0$ .

$\Rightarrow$  todo punto sobre la recta generado por  $v_2$  es punto de equilibrio pues  $A \propto v_2 = \begin{pmatrix} 0 \\ 0 \end{pmatrix}$   $\forall t \in \mathbb{R}$ .

•  $\lambda > 0$

•  $\lambda < 0$



trayectorias  
paralelas  
a  $\langle v_1 \rangle$

•  $\lambda=0$  no es autovalor

⊗ Tenemos los 3 casos siguientes

→ autovalores reales  $\lambda_1 \neq \lambda_2$

$$X(t) = C_1 e^{\lambda_1 t} v_1 + C_2 e^{\lambda_2 t} v_2$$

$v_1$  autovec  $\lambda_1$   
 $v_2$  autovec  $\lambda_2$

$$= y_1(t) v_1 + y_2(t) v_2$$

con  $y_1(t) = C_1 e^{\lambda_1 t}$   $y$

$$y_2(t) = C_2 e^{\lambda_2 t}$$

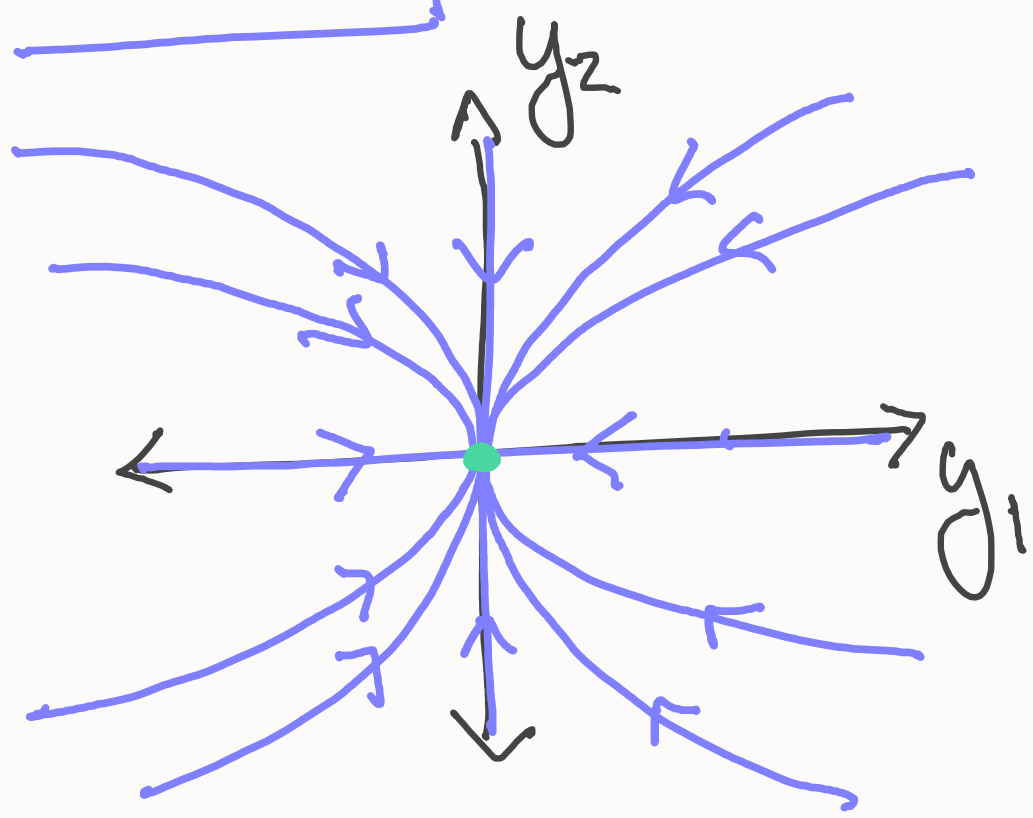
$$\Rightarrow y_2 = C_2 \left| \frac{y_1}{C_1} \right|^{\lambda_2 / \lambda_1}$$

• graficamos  $(y_1, y_2)$

• con  $C = (v_1 | v_2)$   
 graficamos  $(x_1, x_2)$

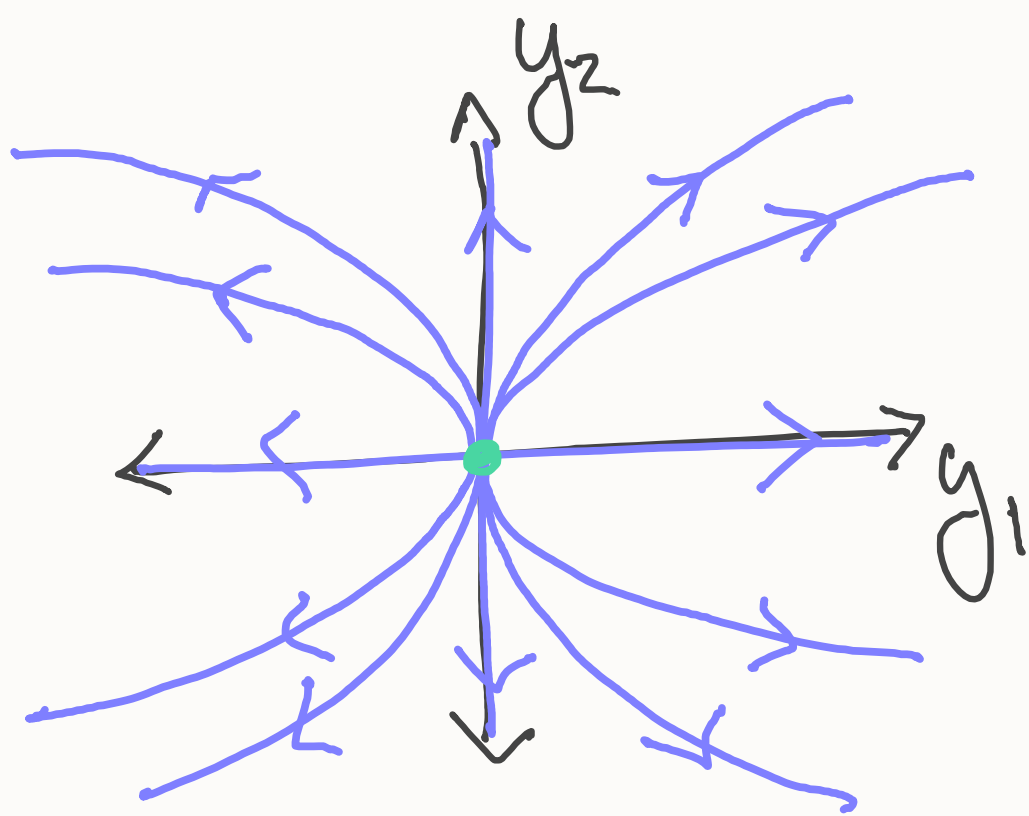
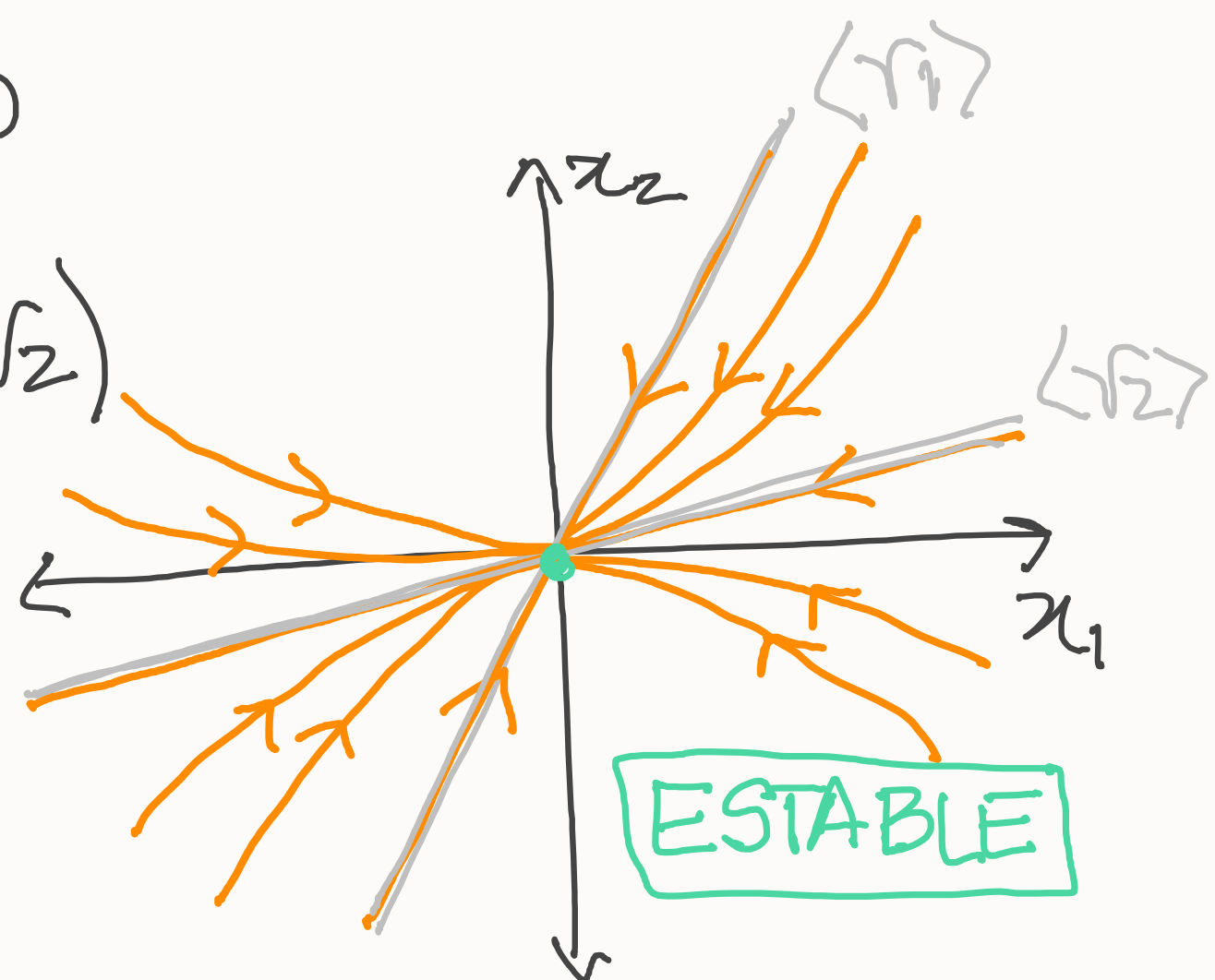
a)  $\frac{\lambda_2}{\lambda_1} \in (0, 1)$  , b)  $\frac{\lambda_2}{\lambda_1} < 0$  , c)  $\frac{\lambda_2}{\lambda_1} > 1$

Caso a



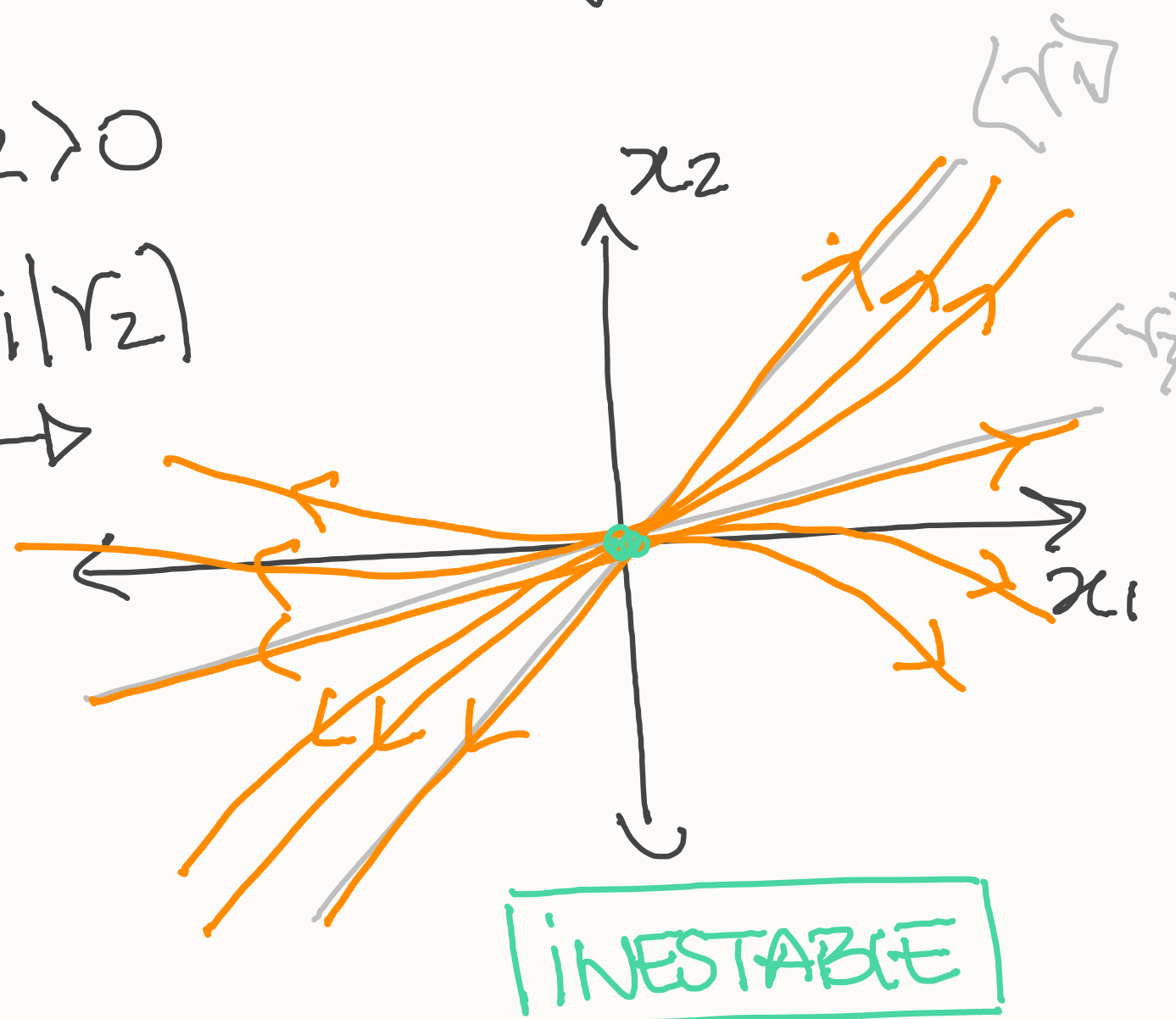
•  $\lambda_1 < \lambda_2 < 0$

$$C = (v_1 | v_2)$$



•  $\lambda_1 > \lambda_2 > 0$

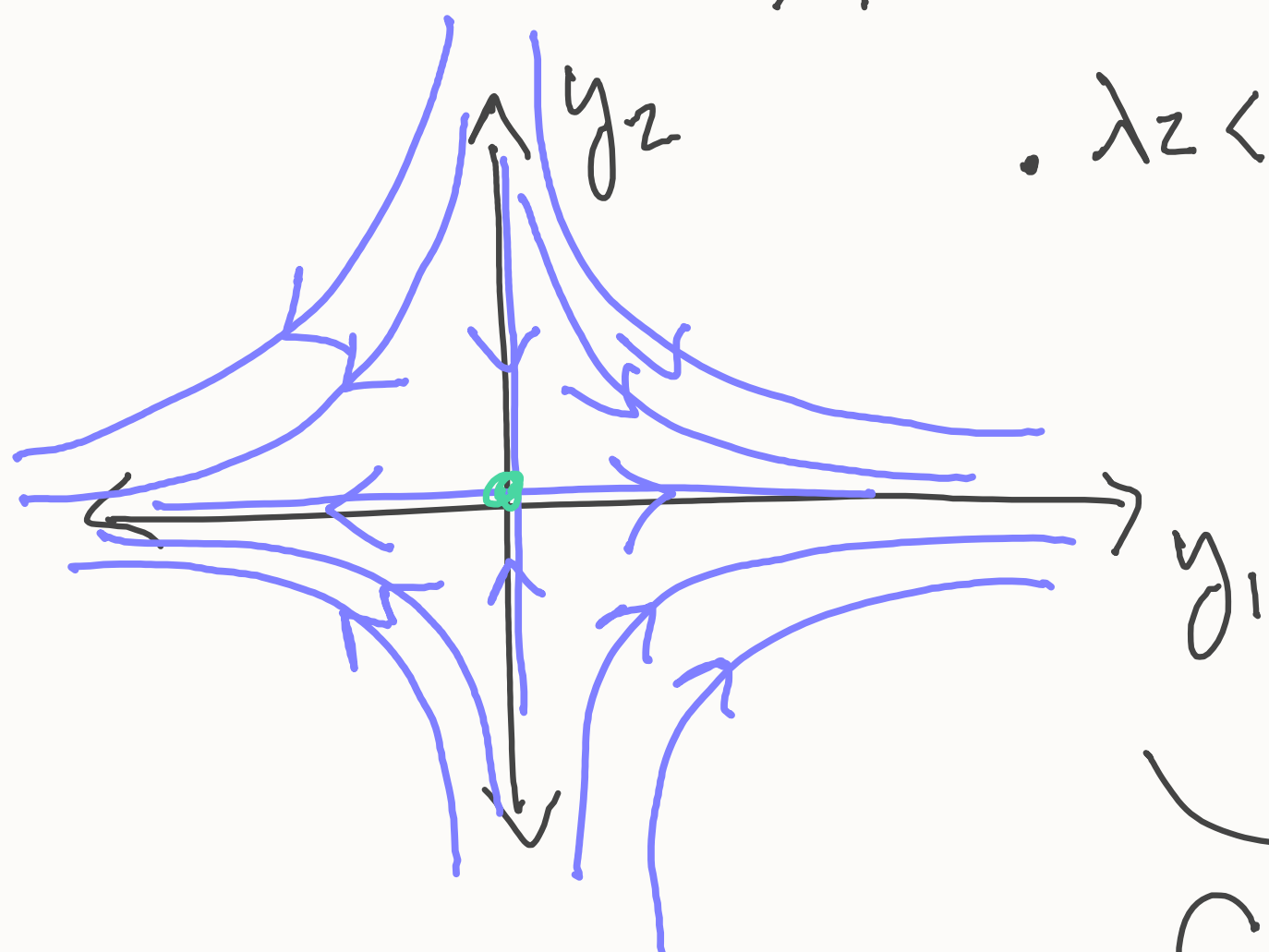
$$C = (v_1 | v_2)$$



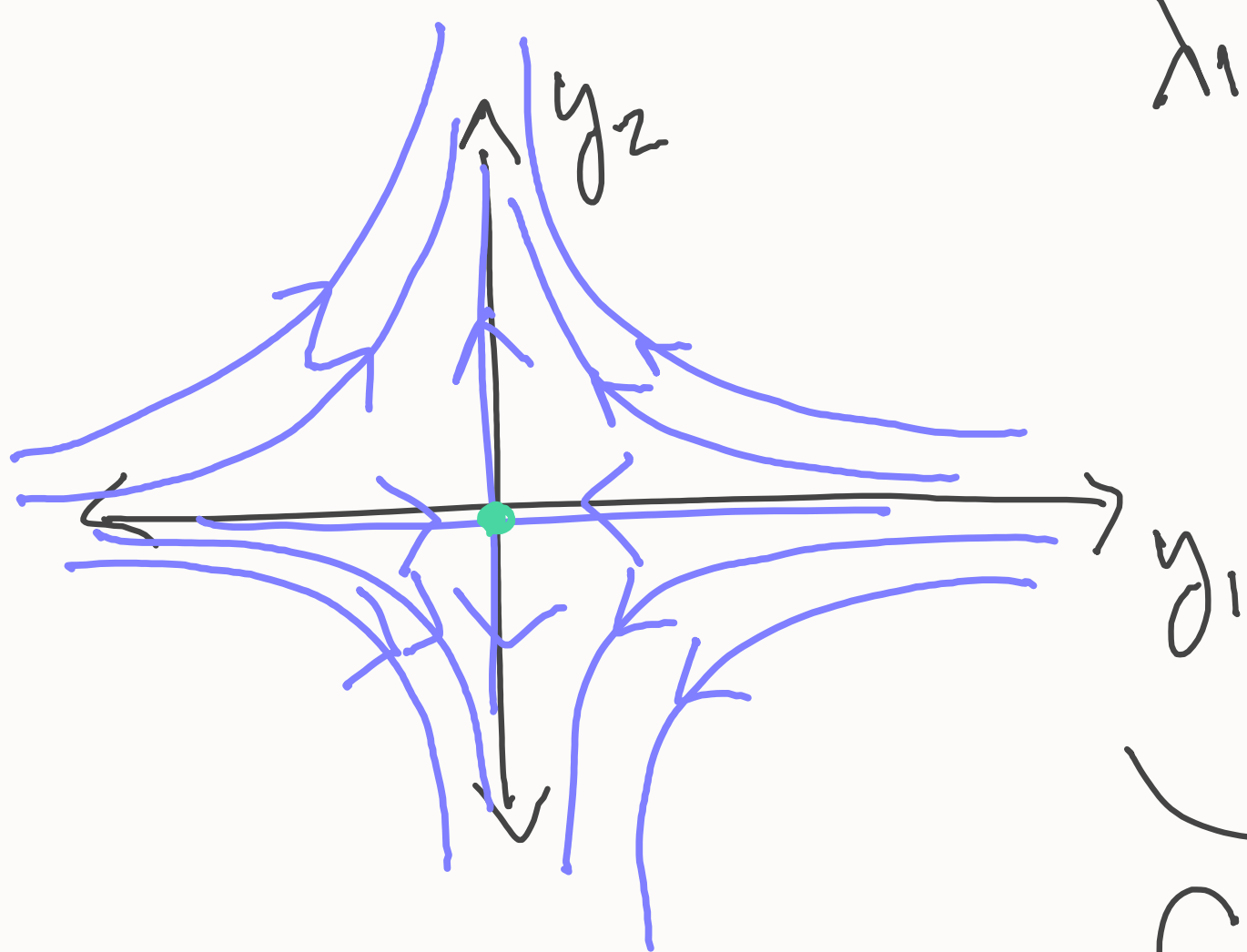
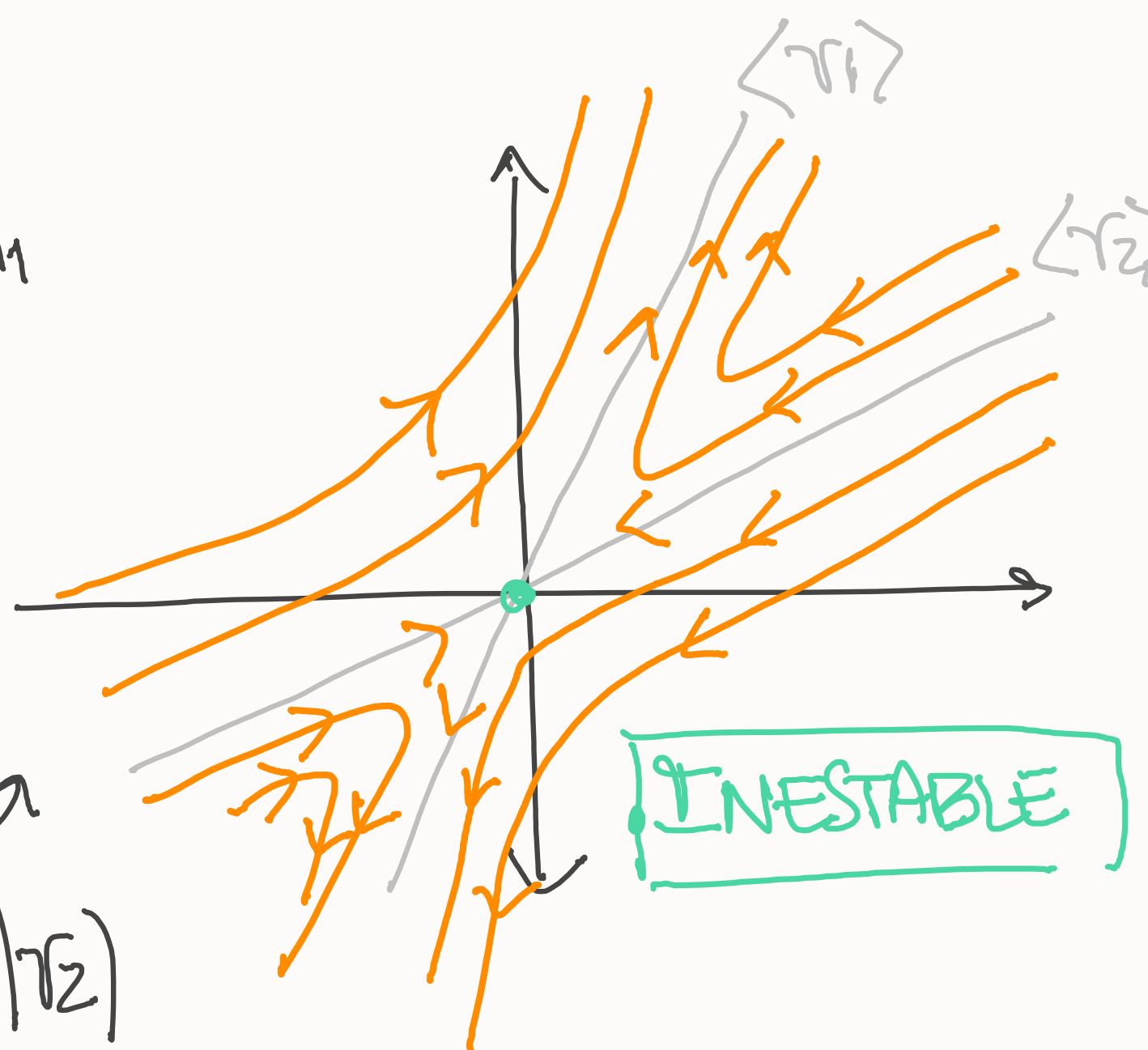
Caso b)

$$\frac{\lambda_2}{\lambda_1} < 0$$

$$\lambda_2 < 0 < \lambda_1$$

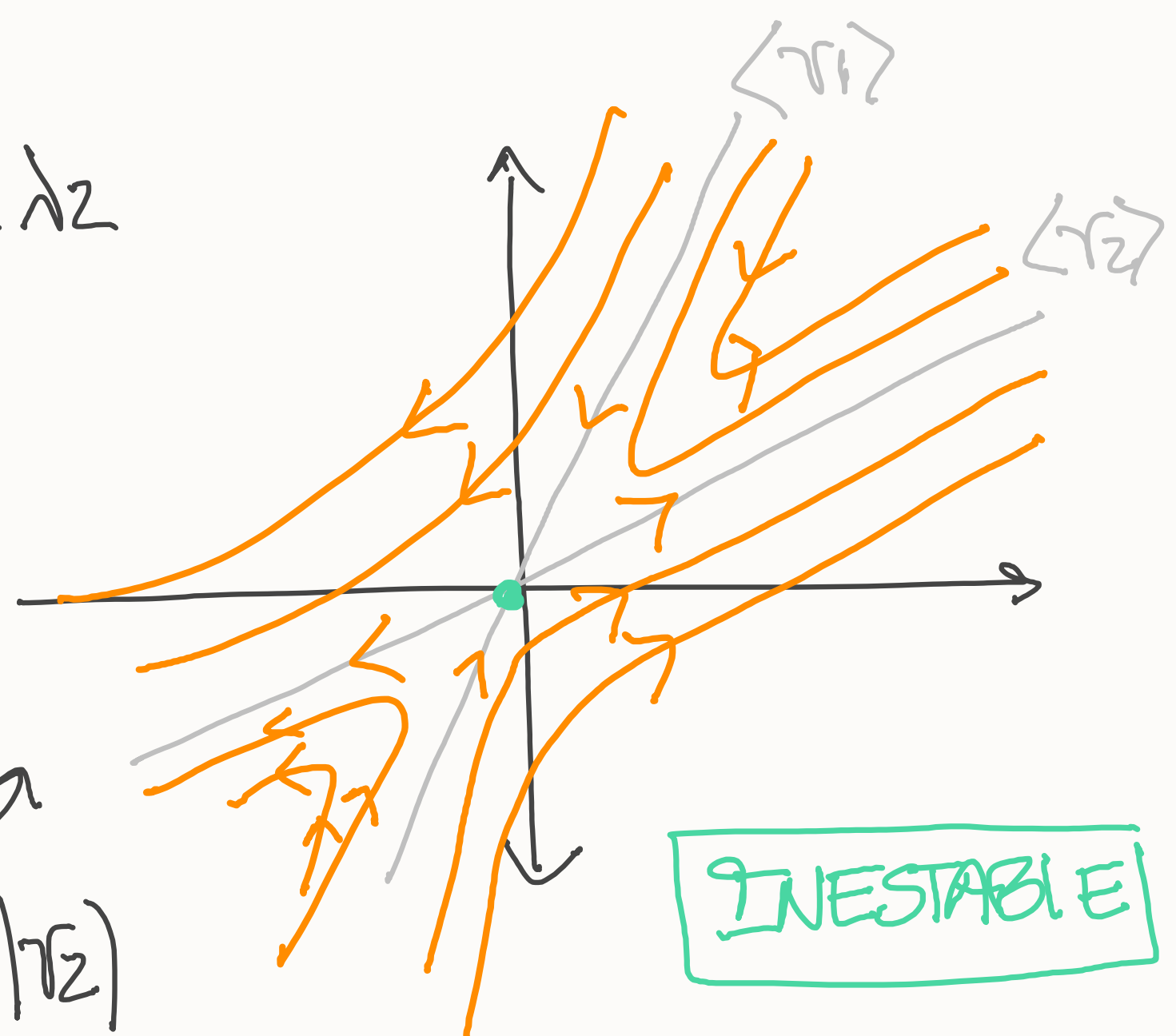


$$C = (\gamma_1 | \gamma_2)$$



$$\lambda_1 < 0 < \lambda_2$$

$$C = (\gamma_1 | \gamma_2)$$



Caso c)

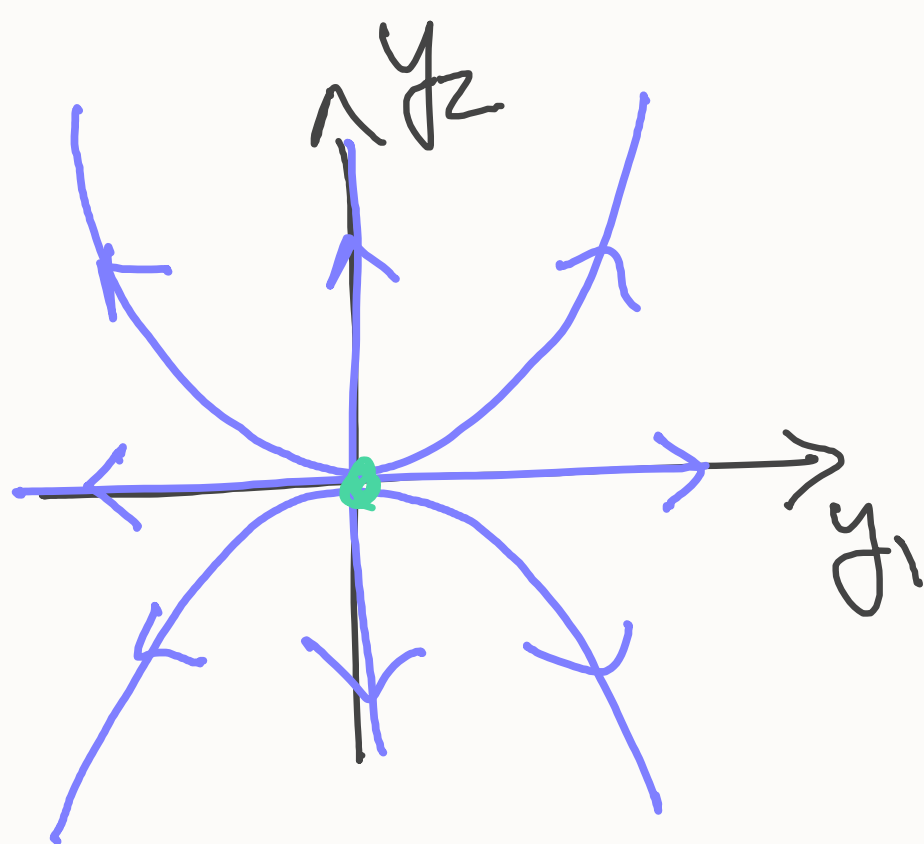
$$\frac{\lambda_2}{\lambda_1} > 1 \Leftrightarrow$$

$$\frac{\lambda_1}{\lambda_2} \in (0, 1) \Rightarrow$$

es como

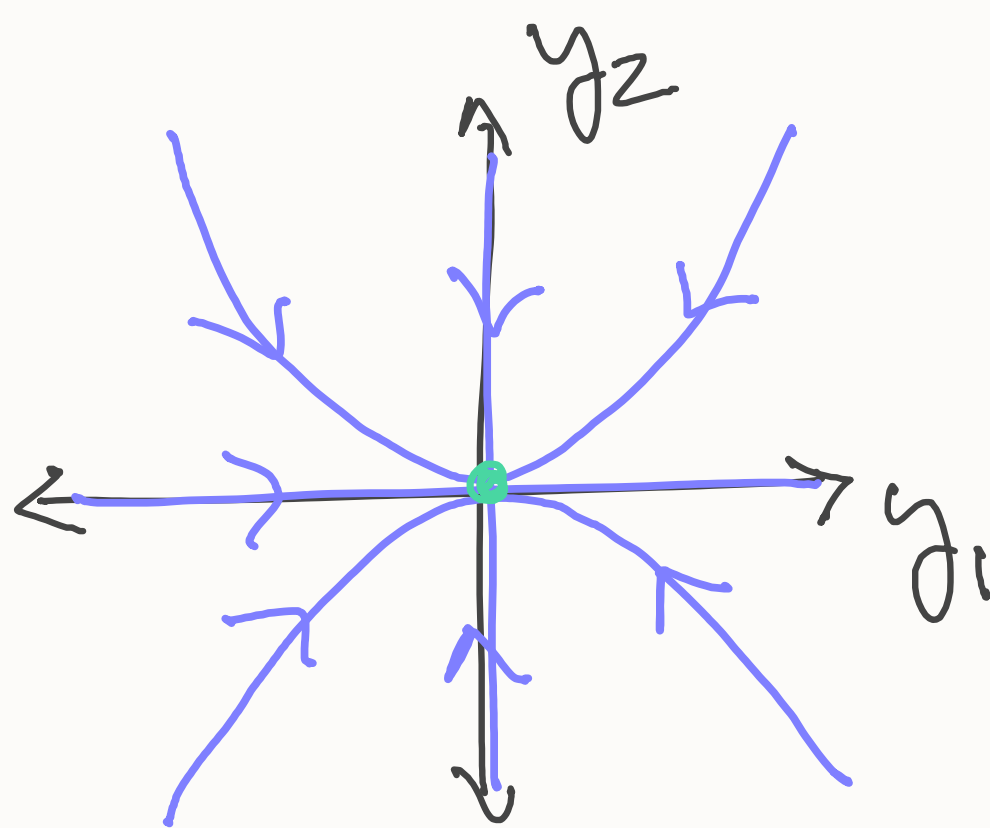
caso a)

intercambiando  
ejes  $y_1$  e  $y_2$ .



$$\lambda_2, \lambda_1 > 0$$

INESTABLE



$$\lambda_1, \lambda_2 < 0$$

ESTABLE



→ autovalores en  $\mathbb{C}$ :  $\lambda = a + ib \wedge \bar{\lambda} = a - ib$ .

autovector  $\sim \lambda = v + iw$ ,  $v, w \in \mathbb{R}^2$  li.

$$\Rightarrow X(t) = C_1 e^{at} (v \cos(bt) - w \sin(bt)) \\ + C_2 e^{at} (v \sin(bt) + w \cos(bt)) \\ = v y_1(t) + w y_2(t)$$

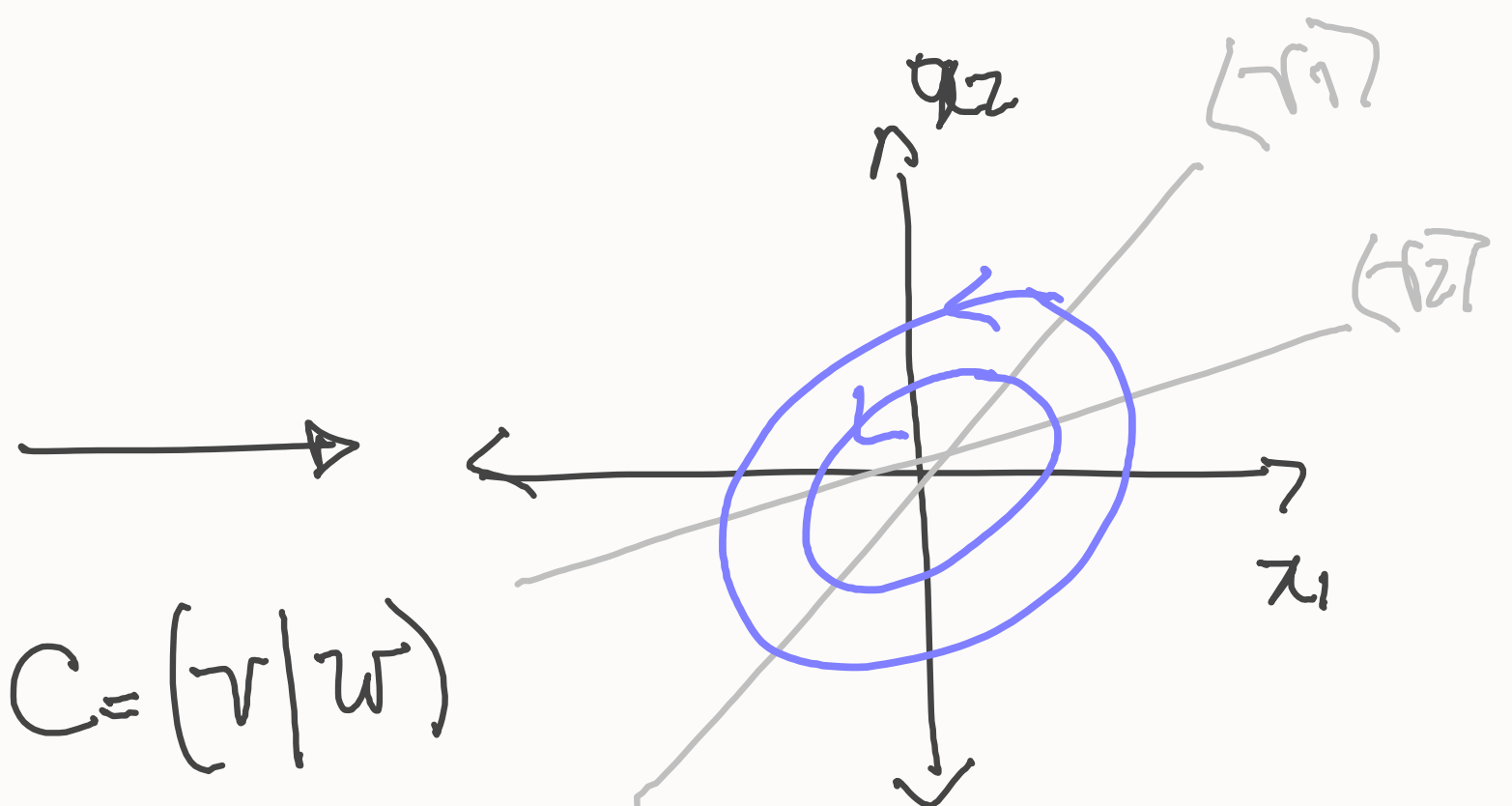
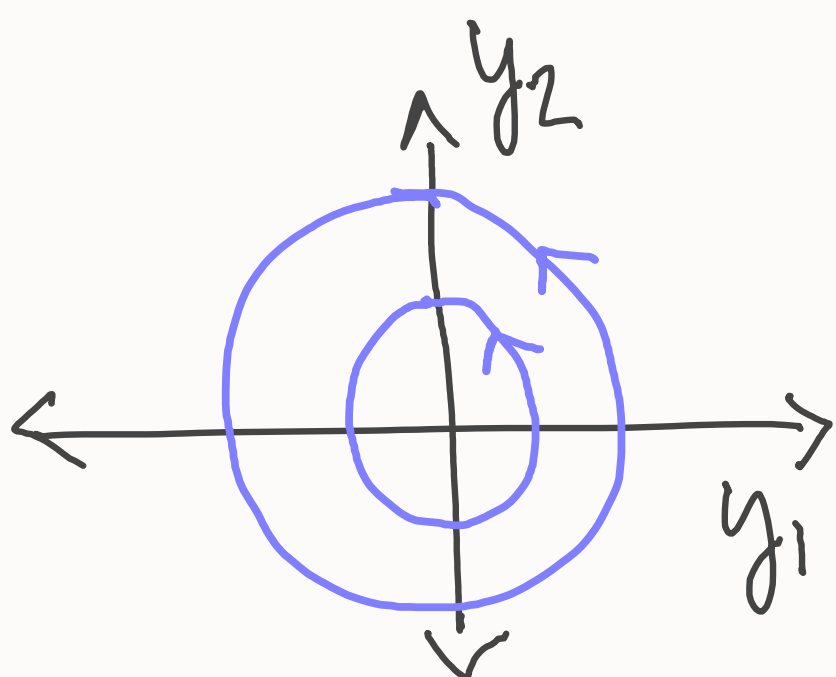
con  $y_1(t) = e^{at} (C_1 \cos(bt) + C_2 \sin(bt))$

$$y_2(t) = e^{at} (-C_1 \sin(bt) + C_2 \cos(bt))$$

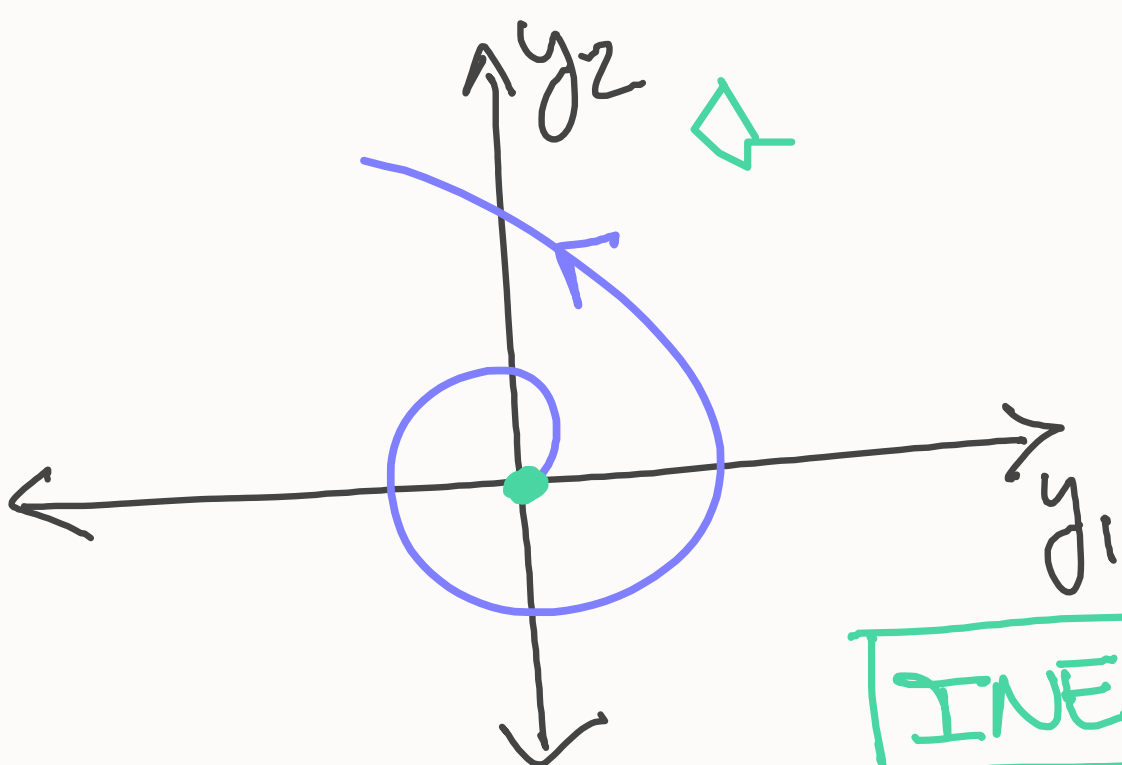
Si  $C_1 = r \cos(\theta)$   
 $C_2 = r \sin(\theta)$

$$\Rightarrow \boxed{\begin{aligned} y_1(t) &= e^{at} \cos(\theta - bt) \\ y_2(t) &= e^{at} \sin(\theta - bt) \end{aligned}}$$

$a = 0$

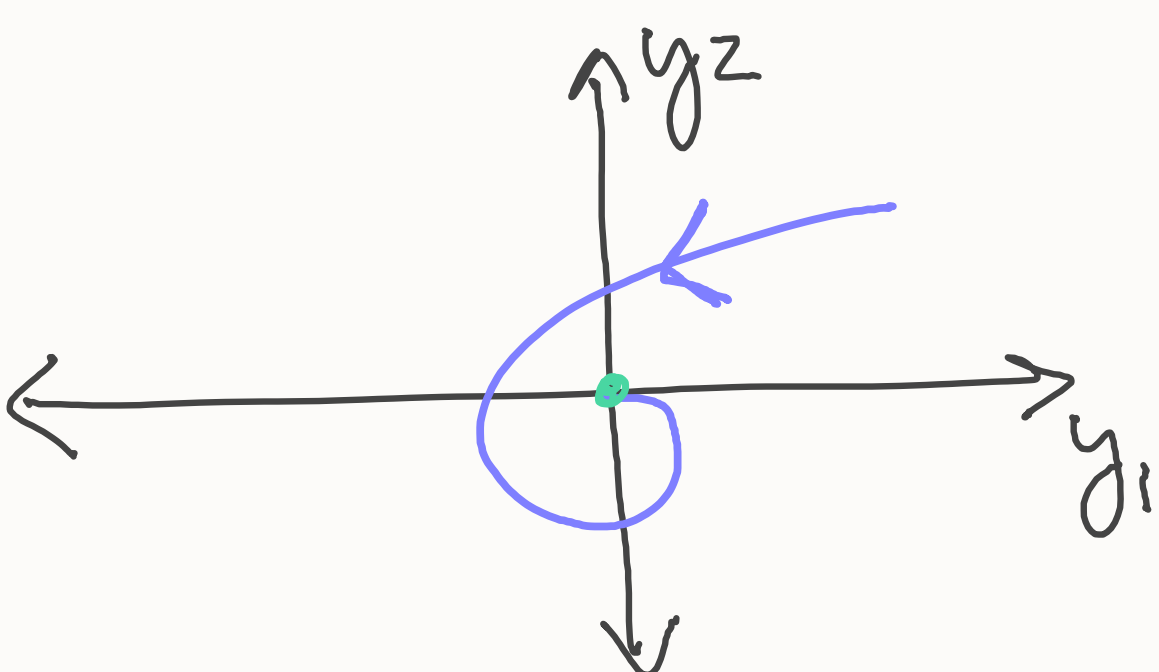


$a > 0$



INSTABLE

$a < 0$



ESTABLE

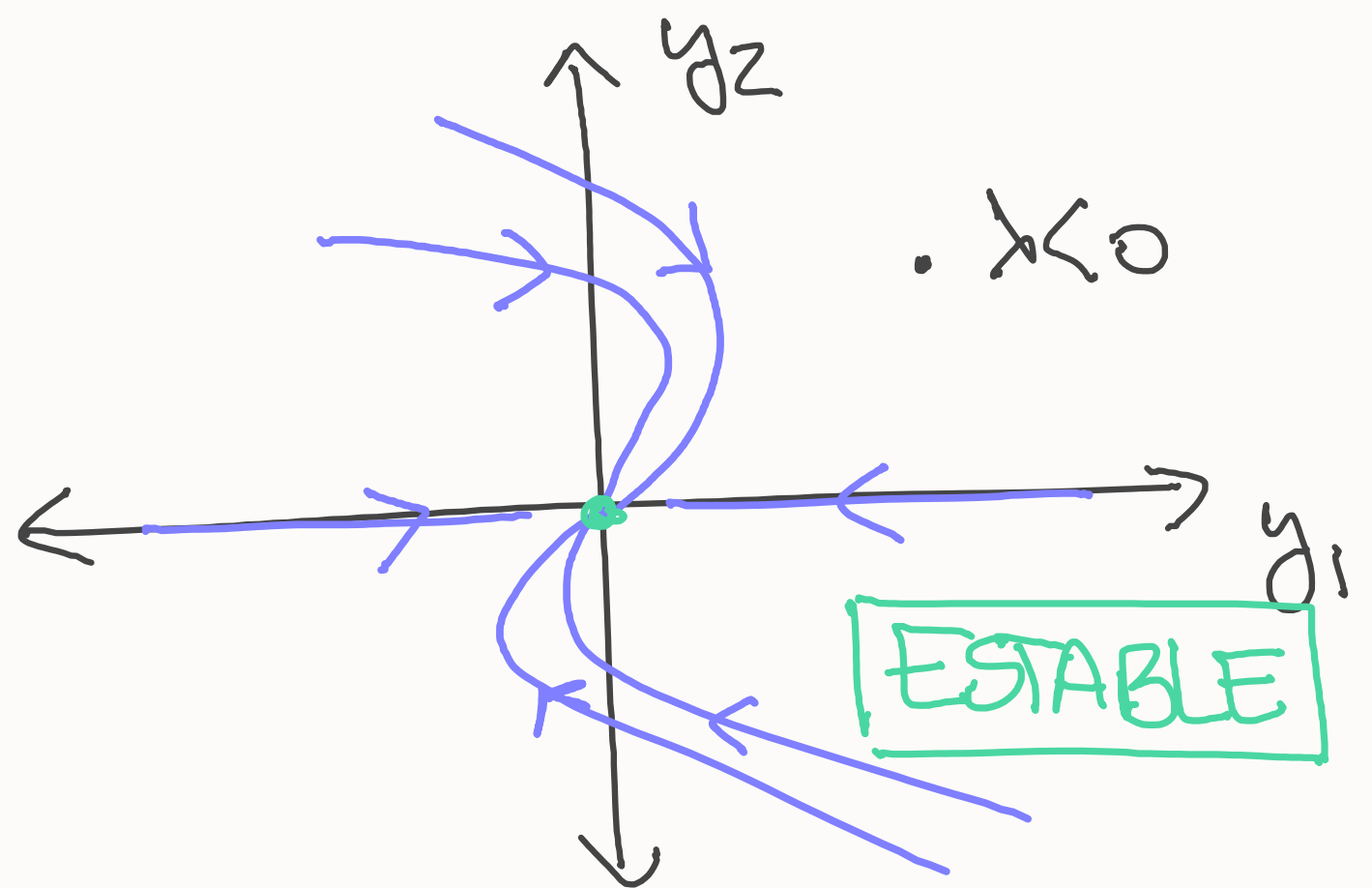
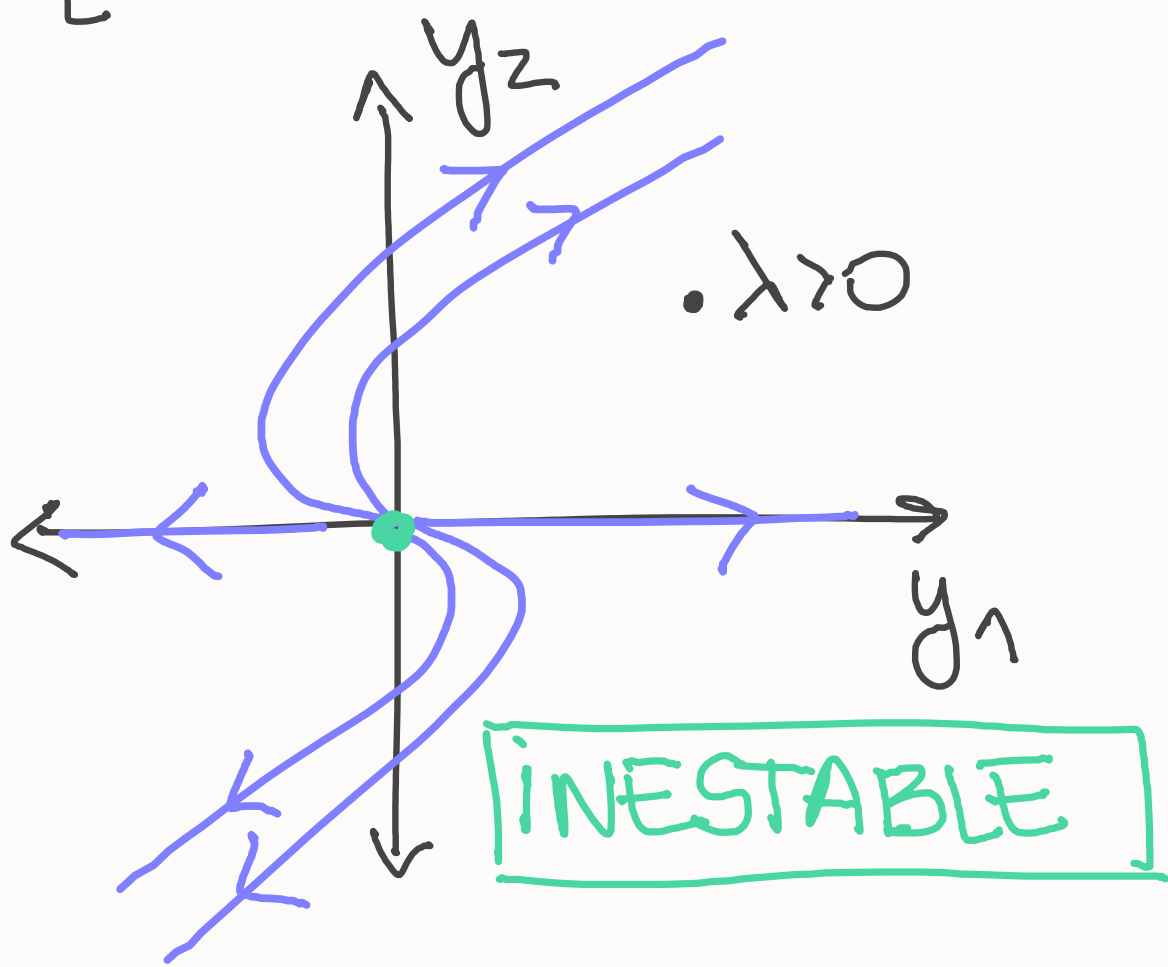
→ autovector doble (A no diagonalizable)

$$X(t) = C_1 v e^{\lambda t} + C_2 (tv + w) e^{\lambda t} \quad \text{con } w \mid (A - \lambda I)w = v$$
$$= v y_1(t) + w y_2(t)$$

$$y_1(t) = e^{\lambda t} (C_1 + t C_2)$$

$$y_2(t) = e^{\lambda t} C_2.$$

$$\left[ \text{Si } C_2 \neq 0 \Rightarrow y_2 = y_1 \left( \frac{C_1}{C_2} - \frac{1}{\lambda} \ln |C_2| + \frac{1}{\lambda} \ln |y_1| \right) \right]$$



## Conclusiones

- Si la parte real de ambos autovectores es  $< 0 \Rightarrow$  las soluciones tienden al  $(0,0)$  que es el punto de equilibrio cuando  $t \rightarrow +\infty$ .

**equilibrio ESTABLE**

- Si la parte real de los auto es  $> 0 \Rightarrow$  las trayectorias tienden a  $(0,0)$  cuando  $t \rightarrow -\infty$ .

y se alejan del equilibrio cuando  $t \rightarrow +\infty$

**equilibrio INESTABLE**

- Si hay uno positivo y otro negativo hay exactamente 2 trayectorias que tienden a  $(0,0)$  cuando  $t \rightarrow +\infty$  y son las que están sobre la recta generada por el autovector asoc. al autovalor  $< 0$ .

Hay exactamente 2 trayectorias que tienden al  $(0,0)$  cuando  $t \rightarrow -\infty$  y son las que están en la recta generada por el autovector asoc. al autovalor  $> 0$ .

Las demás trayectorias se alejan del origen en  $t \rightarrow +\infty$  y  $t \rightarrow -\infty$ .

**equilibrio INESTABLE**

## Linealización

Tenemos un sistema autónomo:

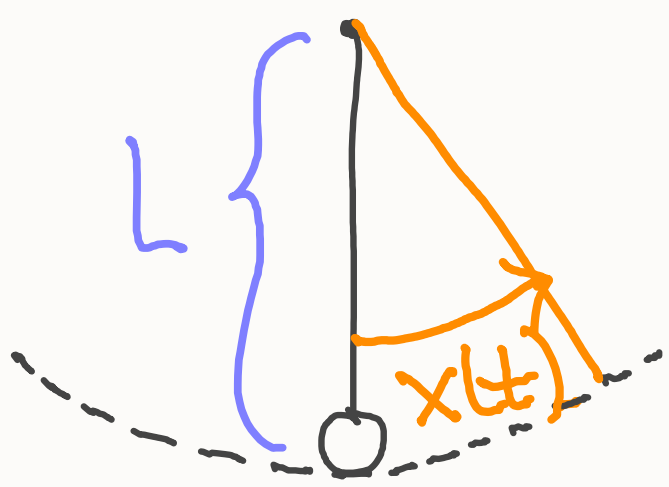
$$\dot{X} = F(X) \quad (\text{no lineal})$$

Si  $X_0$  es punto de equilibrio ( $F(X_0) = (0,0)$ )  
y  $DF(X_0)$  no tiene autovalor con parte real  $= 0$



$\Rightarrow$  el diagrama de fase de  $X' = F(X)$  cerca de  $X_0$ , es similar al diagrama de fase de  $Y' = DF(X_0)Y$  cerca de  $Y_0 = (0,0)$ .

Ejemplo del péndulo simple amortiguado.



- $x(t)$  = ángulo con la vertical ( $q'$  apunta hacia abajo)
- $L$  = longitud del péndulo  $> 0$
- $g = > 0$  constante de gravedad

$$\boxed{x'' + \frac{g}{L} \sin(x) + cx' = 0} \quad \text{con } c \geq 0.$$

La pasamos a sistemas

$$\begin{aligned} x &= X \\ y &= x' \end{aligned} \Rightarrow \begin{cases} x' = y \\ y' = -\frac{g}{L} \sin(x) - cy \end{cases}$$

$$F(x, y) = \left( y, -\frac{g}{L} \sin(x) - cy \right) \quad \text{es } C^1 \\ x \in [-\pi, \pi]$$

• Puntos de equilibrio

$$F(x, y) = (0, 0) \Leftrightarrow \begin{cases} y = 0 \\ \sin(x) = 0 \Leftrightarrow x = -\pi, 0, \pi \end{cases}$$

$$\Rightarrow (-\pi, 0), (\pi, 0), (0, 0).$$

$$DF(x, y) = \begin{pmatrix} 0 & 1 \\ -\frac{g}{L} \cos(x) & -c \end{pmatrix}$$

$$\Rightarrow DF(-\pi, 0) = \underbrace{\begin{pmatrix} 0 & 1 \\ \frac{g}{L} & -c \end{pmatrix}}_A = DF(\pi, 0)$$

Hacemos el diagrama de fase de  $y' = Ay$ .

$$\chi_A(\lambda) = \lambda^2 + c\lambda - \frac{g}{L} \Rightarrow \text{raíces } \lambda_1, \lambda_2 = \frac{-c \pm \sqrt{c^2 + 4\frac{g}{L}}}{2}$$

. ambos autovalores son reales y

$$\lambda_1 = \frac{-c - \sqrt{c^2 + 4\frac{g}{L}}}{2} < 0 \quad \text{y} \quad \lambda_2 = \frac{-c + \sqrt{c^2 + 4\frac{g}{L}}}{2} > 0$$

Autovectores:

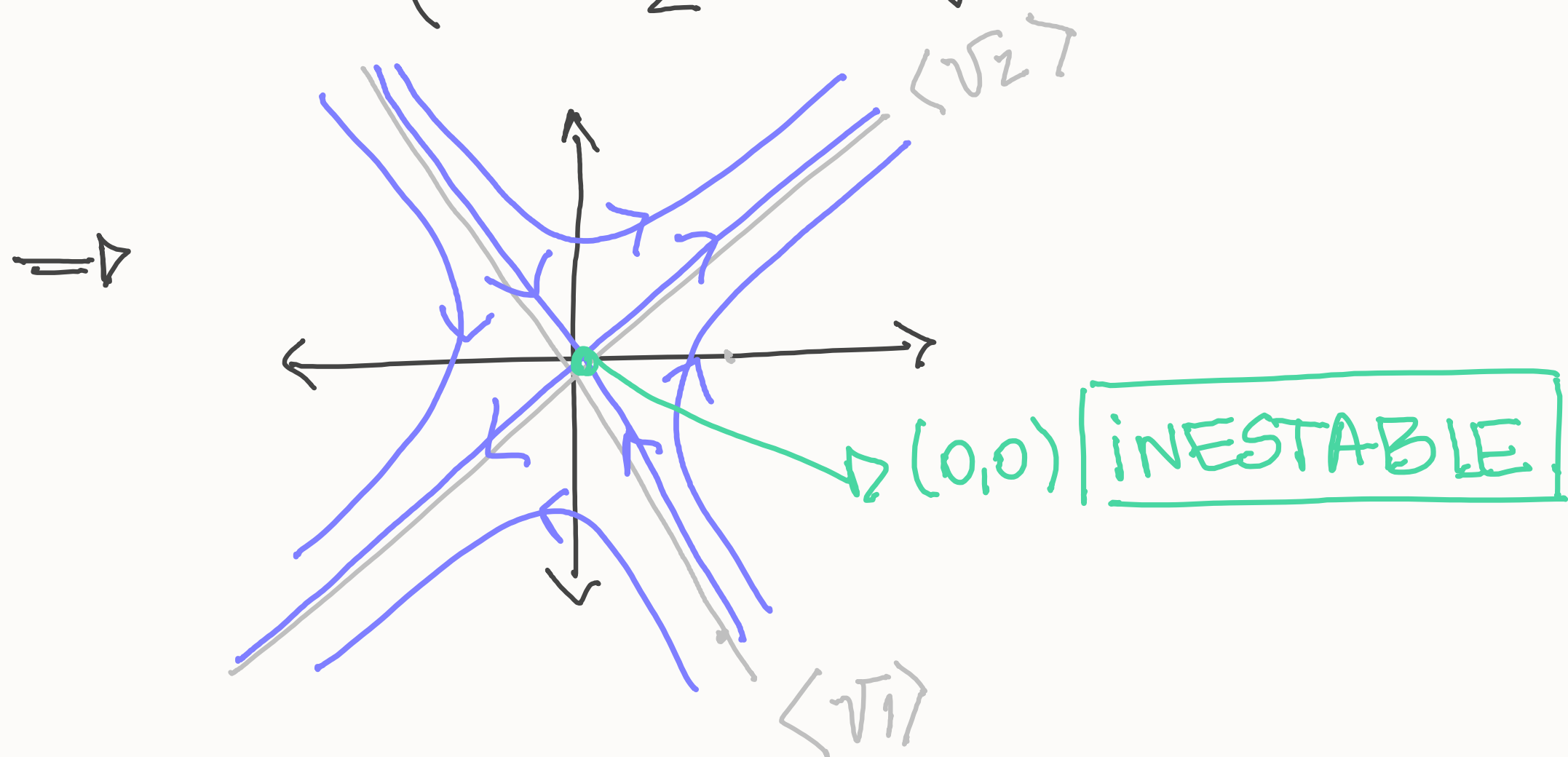
$$\bullet A - \lambda_1 I = \begin{pmatrix} \frac{c + \sqrt{c^2 + 4\frac{g}{L}}}{2} & 1 \\ \frac{g}{L} & \frac{-c + \sqrt{c^2 + 4\frac{g}{L}}}{2} \end{pmatrix}$$

$$\Rightarrow v_1 = \begin{pmatrix} 1 \\ \frac{-c - \sqrt{c^2 + 4\frac{g}{L}}}{2} \end{pmatrix}$$

$$\bullet A - \lambda_2 I = \begin{pmatrix} \frac{c - \sqrt{c^2 + 4\frac{g}{L}}}{2} & 1 \\ \frac{g}{L} & \frac{-c + \sqrt{c^2 + 4\frac{g}{L}}}{2} \end{pmatrix}$$



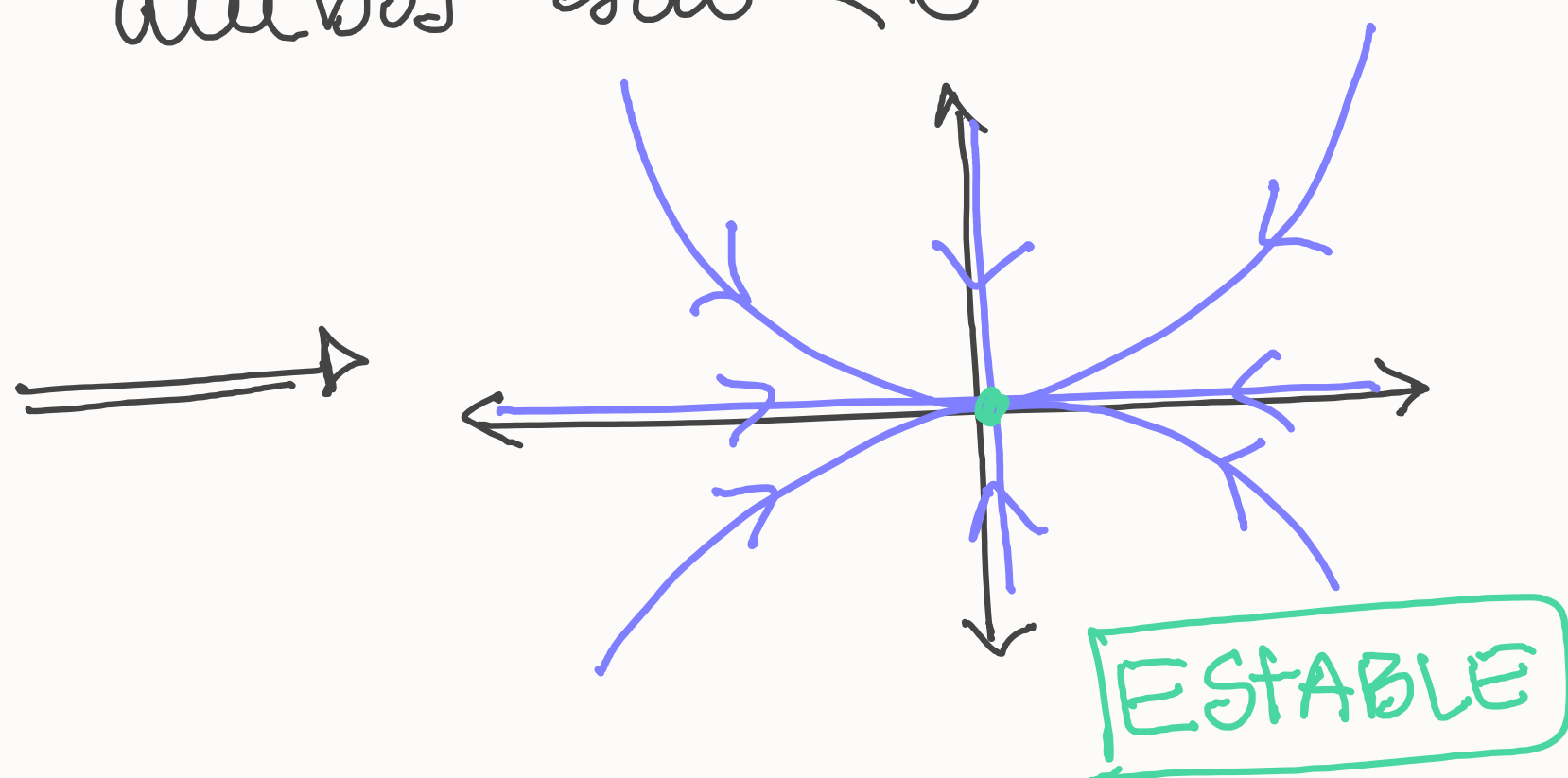
$$\Rightarrow v_2 = \begin{pmatrix} 1 \\ \frac{-c + \sqrt{c^2 + 4g/L}}{2} \end{pmatrix}$$



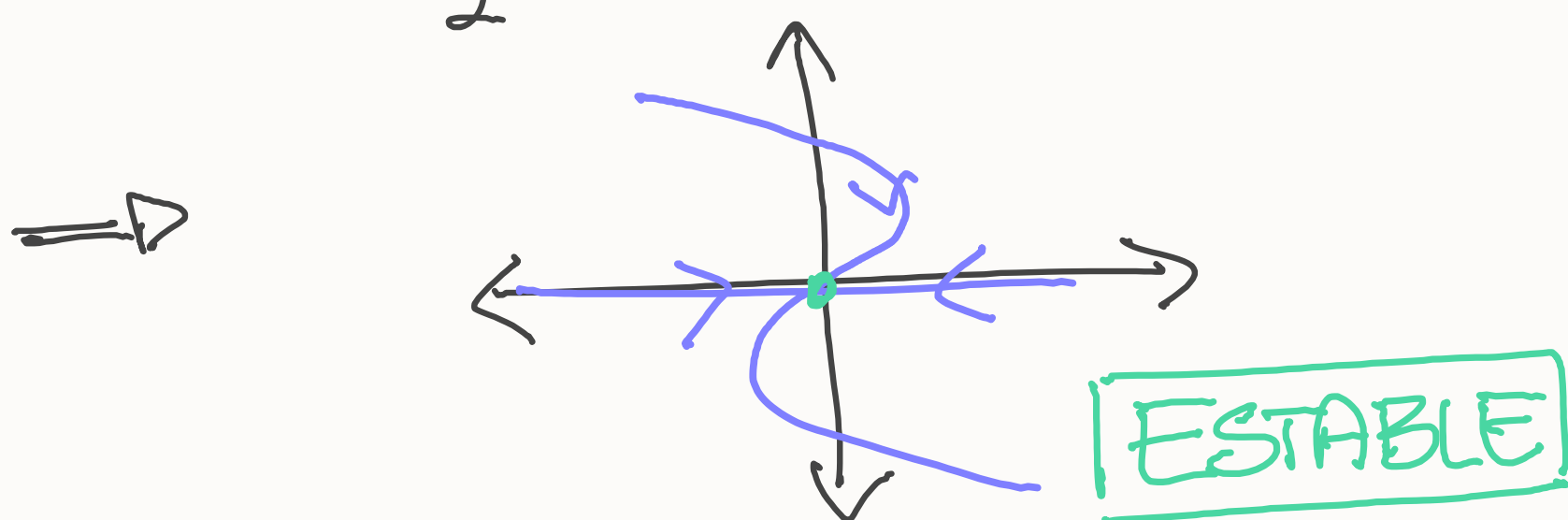
$$DF(0,0) = \begin{pmatrix} 0 & 1 \\ -\frac{g}{L} & -c \end{pmatrix} = A \Rightarrow \chi_A(\lambda) = \lambda^2 + c\lambda + \frac{g}{L}$$

$$\Rightarrow \text{raíces } \lambda_1, \lambda_2 = \frac{-c \pm \sqrt{c^2 - 4g/L}}{2}$$

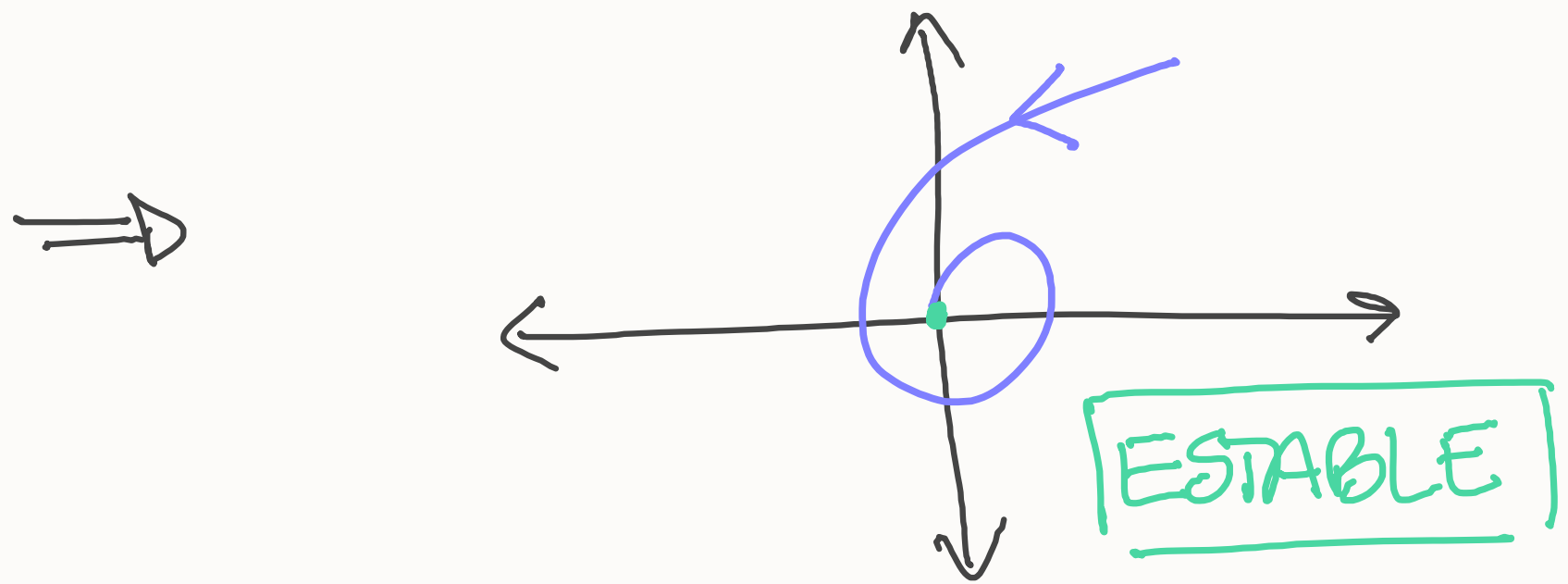
$\cdot c^2 - 4g/L > 0 \Rightarrow \lambda_1, \lambda_2$  son reales,  $\lambda_1 \neq \lambda_2$  y ambos son  $< 0$ .



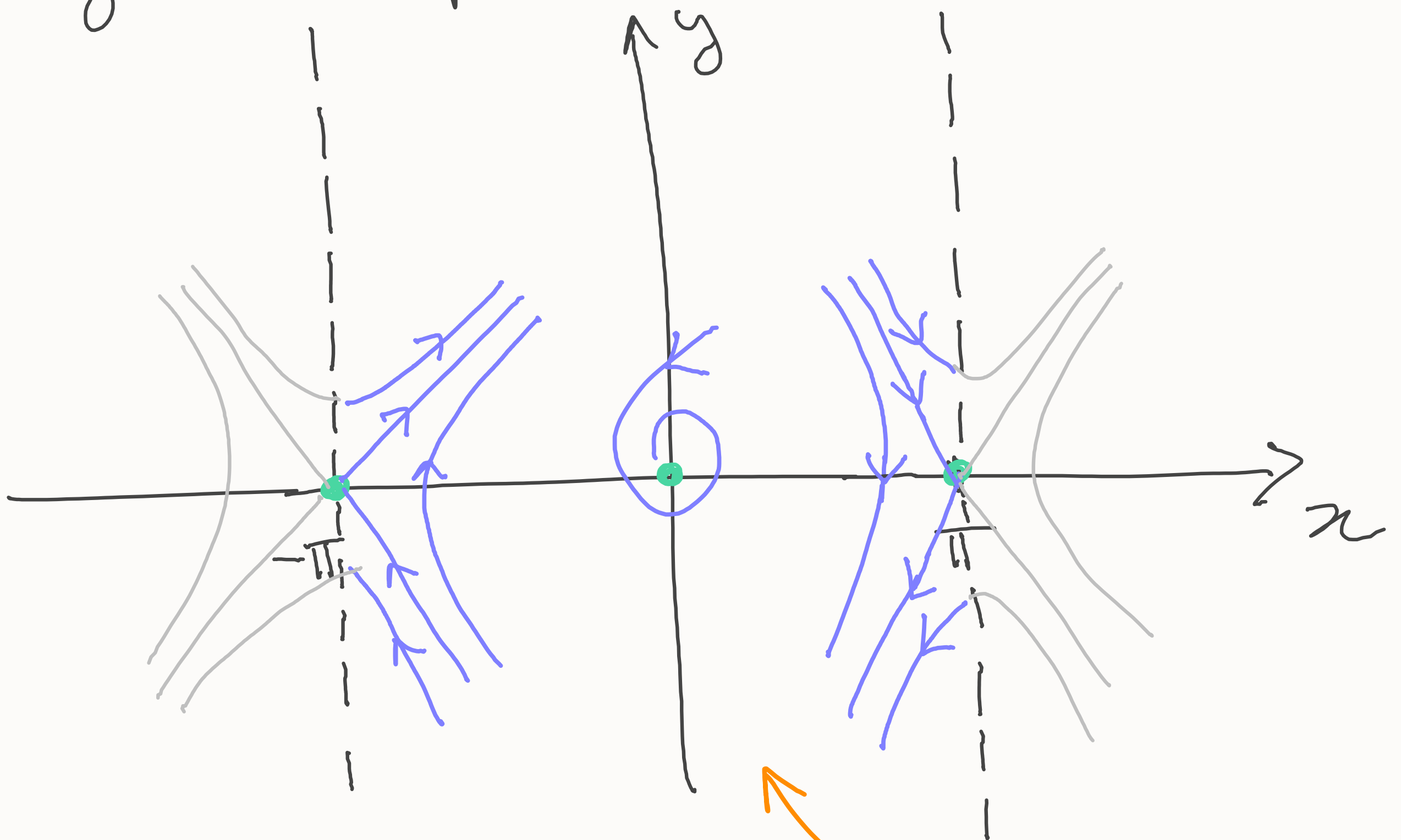
$\cdot c^2 - 4g/L = 0 \Rightarrow \lambda = -\frac{c}{2}$  autovector doble  $< 0$



- $c^2 - 4g/L < 0 \Rightarrow$  autovalores complejos  
con parte real  $= -\frac{c}{2} < 0$



⊗ diagrama de fase de  $\dot{X} = F(X)$



•  $(-\pi, 0)$  y  $(\pi, 0)$  inestables

•  $(0, 0)$  estable.

alquiera de  
los casos.